

The user perceived performance of route planning APIs

Bert Marcelis

Supervisor: Prof. dr. ir. Ruben Verborgh

Counsellors: Pieter Colpaert, Julian Andres Rojas Melendez

Master's dissertation submitted in order to obtain the academic degree of
Master of Science in Information Engineering Technology

Department of Electronics and Information Systems

Chair: Prof. dr. ir. Koen De Bosschere

Faculty of Engineering and Architecture

Academic year 2017-2018



Dankwoord

Inhoudsopgave

Lijst van figuren	7
Lijst van tabellen	8
1 Inleiding	10
1.1 Wat is user-perceived performance?	12
1.2 Probleemstelling en doel van de masterproef	12
2 Implementatie	15
2.1 Linked Connections formaat	15
2.1.1 Vraag- en antwoordformaat	16
2.2 Connection Scan Algoritme	18
2.2.1 Implementatie en aanpassingen	18
2.3 Vertrekken en aankomsten per station	27
2.4 Route van een trein	27
Bibliografie	29
Bijlagen	31
.1 Bijlage A - Linked Connections Specificatie	32
.2 Bijlage B - Lc2iRail's installatiehandleiding	37

.3	Bijlage C - Lc2iRail's documentatie	37
.4	Bijlage D - Testresultaten	37

Lijst van figuren

1.1	Routeplanning HTTP interfaces op de LDF as	11
-----	--	----

Lijst van tabellen

Lijst van listings

“Inspirational quote”

~Source

1

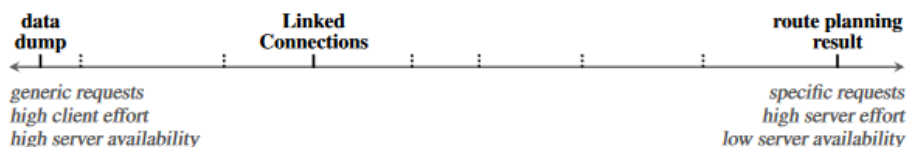
Inleiding

Openbaar vervoer is onmogelijk uit ons dagelijks leven weg te denken en is ook een essentiële dienst in elke stad[1]. Om vlot van dit openbaar vervoer gebruik te maken, zijn er tientallen websites en apps (user-agents) welke gebruikers informatie verstrekken over vertrekken, aankomsten, ritten, routes en vertragingen. Voorbeelden hiervan zijn iRail.be, HyperRail, Railer in België, en CityMapper, TheTransitApp, Here WeGo en Google maps wereldwijd. Op dit moment zijn al deze user-agents echter toegewezen op het gebruik van twee methodes om informatie met betrekking tot openbaar vervoer te publiceren, of een variant ervan.

Eenzijds zijn er volledige data dumps, in de vorm van General Transit Feed Specification (GTFS)¹ en General Transit Feed Specification Realtime (GTFS-RT)². GTFS bestanden bevatten informatie over alle voertuigen van een dienstverlener, over een relatief grote tijdspanne, typisch enkele maanden tot een jaar. GTFS-RT bestanden bevatten realtime informatie over ritten in de komende dag. Om al deze data compact op te slaan en te versturen, wordt deze opgeslagen in de vorm van regels. Deze regels omschrijven wanneer welk voertuig welke rit maakt. Om op basis van deze regels vragen te beantwoorden, dient deze set abstracte regels echter omgevormd te worden naar een gepast model waarin ritten en stopplaatsen opgevraagd kunnen worden, en routes berekend kunnen worden. Hiervoor zij, afhankelijk van welke informatie gewenst is, zware berekeningen vereist, die afhankelijk van de grootte van het GTFS bestand vijf

¹<https://developers.google.com/transit/gtfs/>

²<https://developers.google.com/transit/gtfs-realtime/>



Figuur 1.1: De Linked Data Fragments as illustreert dat alle HTTP interfaces data fragmenten aanbieden, maar verschillen in hoe specifiek de aangeboden data is, en dus de moeilijkheid om deze aan te maken[3]. In deze figuur is de as toegepast op HTTP interfaces voor routeplanning[4].

a tien minuten kunnen duren op een moderne computer. Gebruikers kunnen geen 10 minuten wachten tot data getransformeerd is, waardoor deze optie niet beschikbaar is op mobiele toestellen. Verder is dit formaat een mogelijke technologische restrictie op de vervoersdata: enkel gevorderde ontwikkelaars kunnen hiervan gebruik maken. Open data is slechts open als deze (onder andere) beschikbaar is in een begrijpbaar formaat[2]. GTFS is duidelijk niet geschikt als een formaat om vervoersdata breed te publiceren en openbaar toegankelijk te maken.

Anderzijds zijn er traditionele Remote Procedure Call (RPC) via REST APIs, welke beschikken over verschillende endpoints die specifieke vragen kunnen beantwoorden. Achterliggend kunnen zijn zware berekeningen uitvoeren of grote databases raadplegen zonder dat de gebruiker hier nadeel van ondervindt. Deze antwoorden zijn rechtstreeks bruikbaar voor de client toepassing, maar bieden enkel een antwoord op één specifieke vraag. Een andere vraag, al dan niet door dezelfde client, vereist een nieuwe request naar de server, en zal een ander antwoord tot gevolg hebben. Elk verzoek naar de server vraagt relatief veel processortijd. Een internetverbinding is dus vereist, en server-side is een potentieel grote en dure infrastructuur nodig om aan alle vragen te voldoen. Een ander belangrijk nadeel bij deze techniek is dat deze data moeilijk te combineren is met andere datasets. Een route plannen welke gebruik maakt van meerdere openbaar vervoer aanbieders is enkel mogelijk als iemand een API aanbiedt welke achterliggend door meerdere datasets zoekt. Simpelweg twee APIs combineren is niet mogelijk.

Deze twee methodes zijn elkaars tegengestelde. Ontwikkelaars moeten kiezen voor data die compact maar complex, en slechts indirect bruikbaar is, of voor een vraag-antwoord systeem wat voor elke nieuwe vraag een nieuw verzoek naar een server moet maken. Aan de IDLab onderzoeksgroep aan UGent is onderzoek gedaan naar Linked Connections (LC), een nieuw formaat dat een nieuw evenwicht tracht te vinden. Alle vertrekken van alle voertuigen worden in één chronologische lijst verzameld, waarbij de lijst kan opgevraagd worden volgens vaste tijdsintervallen met een grootteorde van enkele minuten. Hierdoor hoeft de server enkel deze lijst in fragmenten aan te bieden, waarbij alle clients dezelfde informatie krijgen. De clients dienen zelf nog berekeningen te maken, maar deze zijn relatief eenvoudig vergeleken met de berekeningen die nodig zijn om een GTFS feed te verwerken. Data in het Linked Connections formaat kunnen eenvoudig toegankelijk gemaakt worden via een open-source serverapplicatie.

1.1 Wat is user-perceived performance?

Elke techniek voor het ophalen van data heeft specifieke eigenschappen zoals latency, vereiste processortijd, grootte van de verzonden data, Wanneer we verschillende technieken vergelijken door dezelfde user-agent, kunnen we de impact van de verschillende achterliggende technieken op de eindgebruiker vergelijken. Hiervoor definiëren we de user-perceived performance. Dit is de performance zoals de gebruiker deze ervaart, welke niet strikt gelijk hoeft te zijn aan de performance van technische component. De user-perceived latency werd gedefinieerd in 2000 door Roy T. Fielding gedefinieerd als de tijd tussen het selecteren van een link en het renderen van een bruikbaar resultaat[5]. Latency treed op op verschillende punten:

1. de tijd die de client nodig heeft om actie te ondernemen
2. de tijd die nodig is voor voorbereidende acties
3. de tijd om een verzoek te verzenden
4. de tijd die de server nodig heeft om te antwoorden
5. de tijd die nodig is om het antwoord te verzenden
6. de tijd voor het antwoord te verwerken en weer te geven

Terwijl enkel stappen 3, 4 en 5 rechtstreeks afhankelijk zijn van het netwerk, kunnen al deze stappen beïnvloed worden door de gebruikte techniek [5].

Ondertussen zijn we geëvolueerd naar een wereld waarin data vaak mobiel geconsumeerd wordt: 78% van de vlamingen beschikt over een smartphone, 80,5% beschikt over een laptop. Slechts 41,8% beschikt over een desktop computer[6]. Hierbij zijn er ook andere aspecten die meespelen in de user experience: Batterijgebruik en offline toegang tot data vormen een aanzienlijke factor in de user experience. Een applicatie presteert beter wanneer deze dezelfde data kan weergeven met aanzienlijk minder energieverbruik, of wanneer deze consistent goed presteert, ook wanneer netwerk slecht of niet beschikbaar is. Hoewel de user-perceived performance nog steeds gedomineerd wordt door de tijd tussen het selecteren van een link en het renderen van een bruikbaar resultaat, dienen we dus ook deze andere aspecten in rekening te brengen. Mobiele gebruikers hebben ook nog steeds angst om te veel data te verbruiken [7].

1.2 Probleemstelling en doel van de masterproef

Linked Connections werd ontwikkeld met de bedoeling een evenwicht te vinden. In plaats van elke query op een server te beantwoorden, wordt een gelinkte lijst van connecties gepubliceerd.

Linked Connections laat hierdoor toe om queries te beantwoorden door middel van een lineair groeiende lijst van connecties[4]. Bovendien gebruiken alle user-agents dezelfde lijst, waardoor deze zeer cachebaar is. Bij stijgende belasting daalt de tijd die nodig is per verzoek [8].

Terwijl de cost-efficiency van Linked Connections reeds is aangetoond, waarbij LinkedConnections hetzelfde aantal verzoeken kan beantwoorden met slechts 25% van de rekencapaciteit[8, 9], is er nog geen onderzoek gebeurt naar de user-perceived performance van een user-agent wanneer deze gebruik maakt van linked connections, vergeleken met wanneer deze zelfde user-agent gebruik maakt van een traditionele RPC REST API.

In deze studie richten we ons specifiek op mobiele toestellen. Deze toestellen hebben beperkte processorkracht en geheugen, maar ook bandbreedte en beschikbaarheid van internet zijn vaak beperkt. In het slechtste geval is er geen netwerkverbinding, waarbij enkel een cache beschikbaar is. Verder zullen we ons specifiek richten op het verschil tussen een RPC REST API gebaseerd op linkedConnections[8] en de originele linkedConnections webserver. Als user-agent zullen we een fork van de Android HyperRail³ applicatie gebruiken, gemodificeerd om de genoemde APIs te gebruiken. Door deze testopstelling zijn de oorspronkelijke data, de server hardware, de user-agent en de client hardware gelijk bij elke vergelijking. Enkel het formaat voor serverinteracties en transport van data zal verschillen.

Om routes te berekenen zullen we gebruik maken van het Connection Scan Algorithm (CSA). Dit algoritme vereist een op vertrektijd gesorteerde lijst van vertrekken. Dit is de exacte definitie van de LinkedConnections knowledge graph, waardoor dit algoritme zonder al te veel modificaties toegepast kan worden. Fragmenten kunnen hierbij geladen worden op het moment dat ze nodig zijn. We zullen dezelfde implementatie gebruiken zowel bij de client-side API als bij de server-side API om zo correct mogelijke resultaten te behalen.

In eerste instantie zal een traditionele API geschreven worden welke gebruik maakt van de Linked Connections fragmenten op de SSD van de server. Deze API zal een endpoints bevatten voor het tonen van vertrekken en aankomsten per station, het berekenen van routes, en voor het weergeven van het traject per trein. Vervolgens zal een API zonder specifieke server-side geïmplementeerd worden in de applicatie. Deze zal dezelfde informatie ter beschikking stellen in de applicatie, maar zal hiervoor enkel (delen van) de gelinkte lijst met vertrekken downloaden.

Eenmaal beide APIs volledig geïmplementeerd zijn, zal de user-experienced performance onderzocht worden. Hiertoe worden begeleide user tests gehouden, waarbij een aantal testgebruikers afwisselend met beide APIs hun dagelijkse opzoekingen zullen uitvoeren, waarna ze aan de hand van een vragenlijst bevraagd zullen worden naar hun ervaringen en voorkeuren. Het is essentieel om de subjectieve ervaringen van gebruikers te bevragen, gezien verschillende gebruikers mogelijk verschillende afwegingen maken. We verwachten dat sommige gebruikers offline toegang

³<https://hyperrail.be>

waardevol zullen vinden, terwijl anderen mogelijk geen belang hechten aan offline toegang. Ook zal er technische data verzameld worden, zoals geheugen- en processorgebruik, laadtijden, en batterijverbruik.

Aan de hand van deze gegevens zullen we trachten te besluiten of Linked Connections al dan niet een beter dataformaat is vergeleken met traditionele RPC APIs, wanneer we een zo optimaal mogelijke gebruikerservaring willen.

“*Inspirational quote*”

~Source

2

Implementatie

Om een zo eerlijk mogelijke vergelijking te bekomen, zullen we zowel bij de client-side API als de server-side API dezelfde algorithmes toepassen. Gezien de jonge leeftijd van het Linked Connections framework zijn er nog geen algorithmes beschikbaar om deze data te verwerken. We zullen de ontwikkeling van deze algoritmen bespreken, met speciale aandacht voor het routeplanning algoritme vanwege de hogere complexiteit en de uitgebreide mogelijkheden.

2.1 Linked Connections formaat

In plaats van een dump van planningsdata of een volledige routeplanner te publiceren, publiceert Linked Connections paren van vertrek en aankomst voor elke treinrit, telkens van een station tot het volgende. Deze paren worden gesorteerd volgens vertrektijd. Hierna wordt deze lijst van paren gesplitst, om pagina's van gelijke grootte of gelijke tijdsduur te bekomen. Deze fragmenten kunnen gepubliceerd worden via HTTP als *JSON-LD*¹, waarbij user-agents kunnen kiezen welke pagina's ze opvragen. Links in de gepubliceerde documenten zorgen ervoor dat user-agents steeds weten welke pagina ze als volgende moeten laden [10].

Om bovenstaande methode in de praktijk om te zetten, wordt gebruik gemaakt van de open

¹<https://json-ld.org/>

source Linked-Connections-Server². Om GTFS om te zetten naar Linked Connections, wordt er achterliggend gebruik gemaakt van de gtfs2lc tool³.

Deze data is publiek toegankelijk via <http://graph.irail.be/>.

2.1.1 Vraag- en antwoordformaat

Om een pagina met data op te halen, wordt een verzoek gemaakt naar de API, waarbij de vervoersmaatschappij en het gewenste tijdstip in ISO8601 formaat in de URL opgenomen worden. Codefragment 1 toont een ingekort resultaat voor de vertrekken bij de NMBS op 20 maart 2018, 12:30. De volledige specificatie⁴ kan teruggevonden worden in Bijlage A - Linked Connections Specificatie.

Verzoek: <https://graph.irail.be/sncb/connections?departureTime=2018-03-20T12:30:00.000Z>

In dit codefragment vinden we volgende data terug:

1. *@context*: Deze lijst definieert de gebruikte namespaces en velden
2. *hydra:next* en *hydra:previous*: Links naar de pagina met respectievelijk de volgende en de voorgaande data
3. *hydra:search*: Informatie over de huidige pagina
4. *@graph*: Deze lijst bevat de eigenlijke data. Elk vertrek bevat de volgende informatie:
 - (a) *departureStop*: De URI welke het station van vertrek uniek identificeert.
 - (b) *arrivalStop*: De URI welke het station van aankomst uniek identificeert.
 - (c) *departureTime*, *arrivalTime*: De geplande tijden, respectievelijk bij vertrek en aankomst.
 - (d) *departureDelay*, *arrivalDelay*: De vertraging, respectievelijk bij vertrek en aankomst.
 - (e) *direction*: De richting van dit voertuig, wat vaak ook op de lichtkrant van het voertuig weergegeven wordt.
 - (f) *gtfs:trip*: Een URI welke de rit van het voertuig uniek identificeert
 - (g) *gtfs:route*: Een URI welke de route van het voertuig uniek identificeert
 - (h) *gtfs:pickupType* en *gtfs:dropOffType*: geeft aan of reizigers al dan niet kunnen op- of afstappen bij respectievelijk vertrek en aankomst

²<https://github.com/julianrojas87/linked-connections-server/>

³<https://github.com/linkedconnections/gtfs2lc>

⁴<https://linkedconnections.org/specification/1-0>


```

{
  "@context": {
    "xsd": "http://www.w3.org/2001/XMLSchema#",
    "lc": "http://semweb.mmlab.be/ns/linkedconnections#",
    "hydra": "http://www.w3.org/ns/hydra/core#",
    "gtfs": "http://vocab.gtfs.org/terms#",
    "Connection": "lc:Connection",
    "...": "..."
  },
  "@id": "https://graph.irail.be/sncb/connections?departureTime=2018-03-
    ↪ 20T12:30:00.000Z",
  "@type": "hydra:PagedCollection",
  "hydra:next": "https://graph.irail.be/sncb/connections?departureTime=2018-03-
    ↪ 20T12:40:00.000Z",
  "hydra:previous":
    ↪ "https://graph.irail.be/sncb/connections?departureTime=2018-03-
    ↪ 20T12:20:00.000Z",
  "hydra:search": {
    "..."
  },
  "@graph": [
    {
      "@id": "http://irail.be/connections/8822228/20180320/S11961",
      "@type": "Connection",
      "departureStop": "http://irail.be/stations/NMBS/008822228",
      "arrivalStop": "http://irail.be/stations/NMBS/008822210",
      "departureTime": "2018-03-20T12:30:00.000Z",
      "departureDelay": 60,
      "arrivalTime": "2018-03-20T12:32:00.000Z",
      "arrivalDelay": 0,
      "direction": "Anvers-Central",
      "gtfs:trip": "http://irail.be/vehicle/S11961/20180320",
      "gtfs:route": "http://irail.be/vehicle/S11961",
      "gtfs:pickupType": "gtfs:Regular",
      "gtfs:dropOffType": "gtfs:Regular"
    },
    {"...": "..."}
  ]
}

```

Code 1: Voorbeeld Linked Connections Formaat

2.2 Connection Scan Algoritme

Routeplanning wordt vaak opgelost met behulp van (een variant op) het algoritme van Dijkstra [11]. Toepassingen die gebruik maken van Dijkstra vereisen echter een graaf en een *priority queue*. Naast de impact op prestaties die deze eisen vormen, beperkt een graaf ook de flexibiliteit. De *open world assumption* stelt dat er steeds andere stopplaatsen wiens bestaan we (nog) niet kennen. Het opstellen van een graaf zou vereisen dat we alle gegevens eerst volledig moeten downloaden, terwijl Linked Connections net goed geschikt is voor streaming.

Het Connection Scan Algoritme (CSA) werd voor het eerst beschreven door Ben Strasser in 2013[11]. Dit algoritme vereist van een lijst met vertrekken gesorteerd op vertrektijd. Hiermee worden alle routes in een tijdsinterval efficiënt berekend[12, 13]. In tegenstelling tot Dijkstra's algoritme is er geen graaf of *priority queue* benodigd. Waar andere algoritmen ofwel enkel op kleine netwerken performant zijn, ofwel niet altijd de best mogelijke route vinden, kan CSA de optimale route in grote netwerken toch efficiënt vinden[12]. In de praktijk is het vooral belangrijk om snel rekening te kunnen houden met vertragingen bij vertrek of aankomst[12, 13]. CSA berekent oorspronkelijk de snelste route, al is dit duidelijk niet altijd de route die de gebruiker wenst. Zo kan de snelste route nog steeds een station meermaals bezoeken, of kan men van een trein afstappen om later op deze zelfde trein weer op te stappen. Een oplossing hiervoor is om het aantal overstappen te beperken[12].

Naast de tijd van aankomst, zijn er nog een aantal andere criteria die vaak geoptimaliseerd worden. Het populairste tweede criterium is het aantal overstappen, gevolgd door de prijs [13]. Optimalisatie van de prijs is echter zeer complex vanwege de complexe tariefplannen bij openbaar vervoer[14]. Dit zullen we dan ook niet verder behandelen in dit onderzoek.

2.2.1 Implementatie en aanpassingen

De werking en implementatie van CSA wordt behandeld in [13]. Dit algoritme kan zonder veel wijzigingen geïmplementeerd worden in zowel Java⁵ als PHP⁶.

Wanneer dit algoritme geïmplementeerd wordt merken we echter duidelijke verschillen met de voorgestelde routes door de NMBS. Deze verschillen manifesteren zich vooral in de keuze van het station waar er overgestapt moet worden tussen twee treinen, en de keuze van de tussenliggende treinen indien er meer dan één overstap is. Zo is het mogelijk dat er wordt aangeraden om een trein te nemen langs Brussel Zuid en Centraal tot Noord, om van daar een andere trein te nemen die op zijn beurt van Brussel-Noord langs Centraal naar Zuid rijdt. Verder zullen we ook nog

⁵<https://github.com/Bertware/linkedconnections-android-client/blob/master/Hyperrail/src/main/java/be/hyperrail/android/i>

⁶<https://github.com/hyperrail/lc2irail/blob/master/app/Http/Repositories/ConnectionsRepository.php>

aanpassingen doorvoeren om eenvoudig het aantal overstappen te beperken, en om op een betere manier aan *journey-extraction* te doen.

De implementatie en evolutie van het CSA algoritme worden uitgelegd aan de hand van code fragmenten in Java. Er wordt verondersteld dat sectie 4.2 van [13] gekend is. De code is asynchroon, waarbij na het laden van de eerste Linked Connections pagina een callback functie opgeroepen wordt om deze pagina te verwerken. Afhankelijk van het resultaat van deze verwerking, wordt er een nieuwe pagina opgevraagd, of wordt het resultaat doorgegeven aan de oproepende code door middel van callbacks.

Allereerst dienen we twee wijzigingen door te voeren aan de gegevensstructuren. De arrays S en T zijn vervangen door een Map, waardoor we onbeperkt nieuwe stations kunnen toevoegen. Dit maakt het algoritme geschikt om te werken rekening houdend met de open-world assumption. Voor een voertuig houden we niet enkel bij wanneer we zouden aankomen, maar ook met hoeveel overstappen (beginnend na het opstappen op deze trein) we zouden aankomen, en waar we moeten afstappen van deze trein. Dit laatste is essentieel om niet enkel de aankomsttijd, maar ook de exacte route met alle overstappen te kunnen weergeven.

```
class TrainTriple {
    /**
     * The arrival time at the final destination
     */
    DateTime arrivalTime;

    /**
     * The number of transfers until the destination when hopping on to this train
     */
    int transfers;

    /**
     * The arrival connection for the next transfer or arrival
     */
    LinkedConnection arrivalConnection;
}
```

Ook de paren van vertrek en aankomsttijd per station, zogehete profielen, worden aangepast. Naast de vertrek en aankomsttijd houden we nu ook de connectie bij waarmee we vertrekken in dit station op dit tijdstip, en de connectie waarmee we aankomen in het volgende station waar we moeten over- of afstappen. Ook het aantal overstappen, beginnend met tellen na het opstappen

in dit station, wordt bijgehouden.

```
class StationQuadruple {
    /**
     * The departure time in this stop
     */
    DateTime departureTime;

    /**
     * The arrival time at the final destination
     */
    DateTime arrivalTime;

    /**
     * The departure connection in this stop
     */
    LinkedConnection departureConnection;

    /**
     * The arrival connection for the next transfer or arrival
     */
    LinkedConnection arrivalConnection;

    /**
     * The number of transfers between standing in this station and the
     ↪ destination
     */
    int transfers;
}
```

Wanneer we de ingeladen connecties willen verwerken, filteren we alle connecties uit de pagina die ofwel te vroeg, ofwel te laat vallen. Ook moeten we een flag instellen wanneer we voorbij de vroegste vertrekdatum zijn. In dit geval zullen we na het overlopen van deze lijst geen nieuwe lijsten meer ophalen.

Het bepalen van T1 en T2 spreekt voor zich, en loopt gelijk aan de implementatie uit [13]. In het geval dat er geen aankomst mogelijk is (binnen de beperkte tijd) stellen we zowel de aankomsttijd als het aantal overstappen in op een onrealistisch hoog getal. Dit vereenvoudigt de code aanzienlijk, aangezien er geen rekening gehouden hoeft te worden met het mogelijk leeg zijn van variabelen.

```

if (data.connections.length == 0) {
    mLinkedConnectionsProvider.getLinkedConnectionByUrl(data.previous, this,
        ↪ this, null);
    return;
}

boolean hasPassedDepartureLimit = false;
for (int i = data.connections.length - 1; i >= 0; i--) {
    LinkedConnection connection = data.connections[i];

    if (connection.departureTime.isAfter(mArrivalLimit)) {
        continue;
    }
    if (connection.departureTime.isBefore(mDepartureLimit)) {
        hasPassedDepartureLimit = true;
        continue;
    }

    ...
}

if (Objects.equals(connection.arrivalStationUri,
    ↪ mRoutesRequest.getDestination().getSemanticId())) {
    T1_walkingArrivalTime = connection.arrivalTime;
    T1_transfers = 0;
} else {
    T1_walkingArrivalTime = infinite;
    T1_transfers = 999;
}

// Determine T2, the first possible time of arrival when remaining seated
if (T.containsKey(connection.trip)) {
    T2_stayOnTripArrivalTime = T.get(connection.trip).arrivalTime;
    T2_transfers = T.get(connection.trip).transfers;
} else {
    T2_stayOnTripArrivalTime = infinite;
    T2_transfers = 999;
}

```

Bij de bepaling van T3 maken we de eerste grote afwijking van het oorspronkelijk algoritme. Om te bepalen of een overstap mogelijk is, moeten er reeds profielen voor dit station bekend zijn. Indien dit het geval is, gaan we op zoek naar het profiel waarbij er genoeg tijd is om over te stappen, maar waarbij het aantal overstappen het maximum aantal niet overschrijdt. Wanneer we een overstap vinden die aan deze voorwaarden voldoet, verhogen we het aantal overstappen ook met één. Deze aanpak is eenvoudiger dan de array-gebaseerde aanpak omschreven in [13]. Het voordeel van deze aanpak is dat automatisch alle snelste opties worden bijgehouden, zolang hun aantal overstappen onder het maximum blijft.

In plaats van de door [13] voorgestelde verhoging van de aankomsttijd met één, om zo routes met een gelijke aankomsttijd maar minder overstappen voorkeur te geven, verhogen we hier de aankomsttijd met een vooraf gedefinieerd aantal seconden. Dit aantal geeft aan hoeveel seconden we langer op een trein wensen te zitten, in plaats van over te stappen. Door dit in te stellen op 240, wordt aangegeven dat een route die er tot 4 minuten langer over doet, met een overstap minder, toch de voorkeur krijgt over de snellere route met meer overstappen. Dit is een eerste veld wat door gebruikers ingesteld kan worden om de routes te personaliseren.

Bij het bepalen van de vroegste aankomsttijd, wordt nu ook het aantal overstappen dat bij deze aankomsttijd hoort bepaald, en de connectie waar van de trein afgestapt wordt. We geven bij gelijke aankomsttijden de voorkeur aan overstappen: aangezien de vertrekkende voertuigen volgens dalende vertrektijd overlopen worden, geven we dus de voorkeur aan zo vroeg mogelijk overstappen. Dit geeft extra marge binnen de trip. Door de extra toevoegingen voor journey extraction en het optimaliseren van de routes, is het bijwerken van de gegevenstructuren aanzienlijk ingewikkelder vergeleken met de originele implementatie. Voor voertuigen houden we niet langer enkel de aankomsttijd, maar ook de afstap halte bij. Hierbij verkiezen we de halte waarlangs we zo snel mogelijk aankomen, maar bij gelijke aankomsttijd wensen we een zo lang mogelijke periode voor de overstap. Wanneer de aankomsttijd gelijk is, onderzoeken we of de nieuwe afstap halte (de connectie die op dit moment onderzocht wordt) meer tijd voor een overstap geeft. Indien dit het geval is, werken we de afstap halte bij.

De stopprofielen zijn lichtjes aangepast om de efficiëntie te verhogen. De vroegste vertrekken worden nu achteraan toegevoegd. Door deze aanpassing, en het gegeven dat de vertrektijd van de huidige connectie gelijk of kleiner dan de vertrektijd van alle vorige connecties is, hoeven we nu enkel het laatste profiel in de lijst te evalueren. Als de vertrektijd kleiner of gelijk is, moet de aankomsttijd kleiner zijn. we controleren dus enkel of de aankomsttijd kleiner is, en zo ja, of de vertrektijd kleiner of gelijk is. Afhankelijk van deze laatste controle voegen we een nieuw item toe aan de lijst, of vervangen we het laatste. Aangezien we telkens enkel toevoegen wanneer de aankomsttijd vroeger ligt, zal deze lijst altijd gesorteerd zijn volgens dalende aankomsttijd. Hiermee is bewezen dat deze optimalisatie correct is, en een beter alternatief voor het overlopen van de volledige lijst.

```

// Determine T3, the time of arrival when taking the best possible transfer
↪ in this station
if (S.containsKey(connection.arrivalStationUri)) {
    int position = S.get(connection.arrivalStationUri).size() - 1;
    StationQuadruple quadruple =
        ↪ S.get(connection.arrivalStationUri).get(position);

    while (
        (quadruple.departureTime.minusSeconds(transferSeconds).getMillis() <=
            ↪ connection.arrivalTime.getMillis() ||
        quadruple.transfers >= maxTransfers) &&
        position > 0
    ) {
        position--;
        quadruple = S.get(connection.arrivalStationUri).get(position);
    }
    if (quadruple.departureTime.minusSeconds(transferSeconds)
        .isAfter(connection.arrivalTime) &&
        quadruple.transfers <= maxTransfers) {
        T3_transferArrivalTime =
            ↪ quadruple.arrivalTime.plusSeconds(extraTimeInsteadOfTransfer);
        // Using this transfer will increase the number of transfers with 1
        T3_transfers = quadruple.transfers + 1;
    } else {
        // When there isn't a reachable connection, transferring isn't an
        ↪ option
        T3_transferArrivalTime = infinite;
        T3_transfers = 999;
    }
} else {
    // When there isn't a reachable connection, transferring isn't an option
    T3_transferArrivalTime = infinite;
    T3_transfers = 999;
}

```

```

DateTime Tmin;
LinkedConnection exitTrainConnection;
int numberOfTransfers;

if (T3_transferArrivalTime.getMillis() <= T2_stayOnTripArrivalTime.getMillis())
↪ {
    Tmin = T3_transferArrivalTime;
    exitTrainConnection = connection;
    numberOfTransfers = T3_transfers;
} else {
    Tmin = T2_stayOnTripArrivalTime;
    if (T2_stayOnTripArrivalTime.isBefore(infinite)) {
        exitTrainConnection = T.get(connection.trip).arrivalConnection;
    } else {
        exitTrainConnection = null;
    }
    numberOfTransfers = T2_transfers;
}

// For equal times, we prefer just arriving.
if (T1_walkingArrivalTime.getMillis() <= Tmin.getMillis()) {
    Tmin = T1_walkingArrivalTime;
    exitTrainConnection = connection;
    numberOfTransfers = T1_transfers;
}

if (Tmin.isEqual(infinite)) {
    continue;
}

```



```

if (T.containsKey(connection.trip)) {

    if (Tmin.isEqual(T.get(connection.trip).arrivalTime) &&
        T3_transferArrivalTime.isEqual(T2_stayOnTripArrivalTime) &&
        S.containsKey(T.get(connection.trip).arrivalConnection.arrivalStationUri)
        ↪ &&
        S.containsKey(connection.arrivalStationUri)
    ) {
        LinkedConnection currentTrainExit =
            ↪ T.get(connection.trip).arrivalConnection;

        StationQuadruple quad = new StationQuadruple();
        quad.departureTime = connection.departureTime;
        quad.departureConnection = connection;

        // Current situation
        quad.arrivalTime = Tmin;
        quad.arrivalConnection = currentTrainExit;
        Duration currentTransfer = new Duration(currentTrainExit.arrivalTime,
            ↪ getFirstReachableConnection(quad).departureTime);

        // New situation
        quad.arrivalTime = Tmin;
        quad.arrivalConnection = exitTrainConnection;
        Duration newTransfer = new Duration(exitTrainConnection.arrivalTime,
            ↪ getFirstReachableConnection(quad).departureTime);

        if (newTransfer.isLongerThan(currentTransfer)) {
            TrainTriple triple = new TrainTriple();
            triple.arrivalTime = Tmin;
            triple.arrivalConnection = exitTrainConnection;
            triple.transfers = numberOfTransfers;
            T.put(connection.trip, triple);
        }
    }

    if (Tmin.isBefore(T.get(connection.trip).arrivalTime)) {
        TrainTriple triple = new TrainTriple();
        triple.arrivalTime = Tmin;
        triple.arrivalConnection = exitTrainConnection;
        triple.transfers = numberOfTransfers;

        T.put(connection.trip, triple);
    }
} else {
    TrainTriple triple = new TrainTriple();

```

```

StationQuadruple quad = new StationQuadruple();
quad.departureTime = connection.departureTime;
quad.arrivalTime = Tmin;

// Additional data for journey extraction
quad.departureConnection = connection;
quad.arrivalConnection = T.get(connection.trip).arrivalConnection;
quad.transfers = numberOfTransfers;

if (S.containsKey(connection.departureStationUri)) {
    int numberOfPairs = S.get(connection.departureStationUri).size();
    StationQuadruple existingQuad =
        ↪ S.get(connection.departureStationUri).get(numberOfPairs - 1);
    if (quad.arrivalTime.isBefore(existingQuad.arrivalTime)) {
        if (quad.departureTime.isEqual(existingQuad.departureTime)) {
            S.get(connection.departureStationUri).remove(numberOfPairs - 1);
            S.get(connection.departureStationUri).add(numberOfPairs - 1, quad);
        } else {
            S.get(connection.departureStationUri).add(quad);
        }
    }
} else {
    S.put(connection.departureStationUri, new ArrayList<StationQuadruple>());
    S.get(connection.departureStationUri).add(quad);
}

```

De lijst met volledige routes reconstrueren is relatief eenvoudig. Voor elk profiel horend bij de stoplocatie van waar de reiziger vertrekt, volgen we de vertrek- en aankomstconnecties. Om bij elke tussenstop de juiste connectie te vinden waarmee de reis verder zal gezet worden, vergelijken we de aankomsttijd uit het stopprofiel waaruit we vertrokken, met de aankomsttijden uit de stopprofielen van de tussenstop. Wanneer deze gelijk zijn, hebben we het volgende deel van de reis gevonden.

```
// Results? Return data
Route[] routes = new
↳ Route[S.get(mRoutesRequest.getOrigin().getSemanticId()).size()];

int i = 0;
for (StationQuadruple quad : S.get(mRoutesRequest.getOrigin().getSemanticId())
) {
    // it will iterate over all legs
    StationQuadruple it = quad;
    List<RouteLeg> legs = new ArrayList<>();

    while (!Objects.equals(it.arrivalConnection.arrivalStationUri,
↳ mRoutesRequest.getDestination().getSemanticId())) {
        // use it.departureConnection and it.arrivalConnection to construct legs of
↳ this journey
        legs.add(...);
        it = getFirstReachableConnection(it);
    }

    routes[i++] = new Route(legs);
}
```

2.3 Vertrekken en aankomsten per station

2.4 Route van een trein

```
private StationQuadruple getFirstReachableConnection(StationQuadruple
↪ arrivalQuad) {
    List<StationQuadruple> it_options =
    ↪ S.get(arrivalQuad.arrivalConnection.arrivalStationUri);
    int i = it_options.size() - 1;
    while (i >= 0 && it_options.get(i).arrivalTime.getMillis() !=
    ↪ arrivalQuad.arrivalTime.getMillis() - 240 * 1000) {
        i--;
    }
    return it_options.get(i);
}
```

Bibliografie

- [1] M. Boyd. (2014) How smart cities are using apis: Public transport apis. [Online]. Available: <https://www.programmableweb.com/news/how-smart-cities-are-using-apis-public-transport-apis/2014/05/22>
- [2] O. K. International. (2018) What is open? Open Knowledge Foundation. [Online]. Available: <https://okfn.org/opendata/>
- [3] R. Verborgh, O. Hartig, B. De Meester, G. Haesendonck, L. De Vocht, M. Vander Sande, R. Cyganiak, P. Colpaert, E. Mannens, and R. Van de Walle, “Querying datasets on the web with high availability,” in *Lecture Notes in Computer Science*, vol. 8796. Springer, 2014, pp. 180–196. [Online]. Available: <http://linkeddatafragments.org/publications/iswc2014.pdf>
- [4] P. Colpaert, A. Llaves, R. Verborgh, O. Corcho, E. Mannens, and R. V. D. Walle, “Intermodal public transit routing using linked connections,” vol. 1486, 2015. [Online]. Available: http://ceur-ws.org/Vol-1486/paper_28.pdf
- [5] R. T. Fielding and R. N. Taylor, “Principled design of the modern web architecture,” 1999. [Online]. Available: https://www.ics.uci.edu/~fielding/pubs/fse99_webarch.pdf
- [6] B. Vanhaelewyn and L. D. Marez, “Imec.digimeter 2017.” [Online]. Available: www.imec.be/digimeter
- [7] P. van Ammelrooy. Onbeperkt smartphone-abbonement steeds meer in trek onder nederlanders. [Online]. Available: <https://www.volkskrant.nl/economie/onbeperkt-smartphone-abbonement-steeds-meer-in-trek-onder-nederlanders~a4532349/>
- [8] P. Colpaert, “Publishing transport data for maximum reuse,” Ph.D. dissertation, Ghent University, 2017. [Online]. Available: <https://phd.pietercolpaert.be>
- [9] J. A. Rojas Melendez, D. Chaves, P. Colpaert, R. Verborgh, and E. Mannens, “Providing reliable access to real-time and historic public transport data using linked v-connections,” vol. 1931, 2017, pp. 1–4. [Online]. Available: <https://biblio.ugent.be/publication/8540883/file/8540885.pdf>

- [10] P. Colpaert. (2018) Linked connections: What is it? [Online]. Available: <http://linkedconnections.org/#what>
- [11] J. Dibbelt, T. Pajor, B. Strasser, and D. Wagner, “Intriguingly simple and fast transit routing,” in *Experimental Algorithms*, V. Bonifaci, C. Demetrescu, and A. Marchetti-Spaccamela, Eds. Berlin, Heidelberg: Springer Berlin Heidelberg, 2013, pp. 43–54. [Online]. Available: <https://pdfs.semanticscholar.org/a892/a54b02ce112e1302931231141a8b676b873b.pdf>
- [12] B. Strasser and D. Wagner, “Connection scan accelerated,” in *2014 Proceedings of the Sixteenth Workshop on Algorithm Engineering and Experiments (ALENEX)*, 2014, pp. 125–137.
- [13] J. Dibbelt, T. Pajor, B. Strasser, and D. Wagner, “Connection scan algorithm,” *CoRR*, vol. abs/1703.05997, 2017. [Online]. Available: <http://arxiv.org/abs/1703.05997>
- [14] M. Müller-Hannemann and M. Schnee, “Paying less for train connections with motis,” in *OASICS-OpenAccess Series in Informatics*, vol. 2. Schloss Dagstuhl-Leibniz-Zentrum für Informatik, 2006.

Bijlagen

.1 Bijlage A - Linked Connections Specificatie



Revolutionizing route planning frameworks:
publishing better data, building smarter clients.

[What is it?](#) [Datasets](#) [Tools](#) [Scientific Publications](#) [Specification](#)

Published: 2018-01-01
Editor: [Pieter Colpaert - IDLab](#)

Introduction

The Linked Connections 1.0 specification explains how to implement a data publishing server, and explains what you can rely on when writing a route planning client. Linked Connections uses “a connection” as its smallest building block: at all times, you will need to generate or process a departure stop, departure time, arrival stop and arrival time. These connections are then ordered by departure time, and split in fragments that do not exceed a reasonable page size for an HTTP response. Following the Linked Data principles and the REST constraints, we make sure that from any HTTP response, hypermedia controls can be followed to discover the rest of the dataset. A “Linked Connections graph” is a paged collection of connections, describing the time transit vehicles leave and arrive.

In this specification, we use 2 keywords. `must` is used when the client would not be able to use the data any longer. `should` is used in order to follow good practices for better performance, or to make the lives of developers easier.

Communication over HTTP

For each document that is published by a Linked Connections server, a [Cross Origin Resource Sharing](#) HTTP header must to be set as follows:

Access-Control-Allow-Origin: *

Next, the server should implement thorough caching strategies, as the cachability is one of the biggest advantages of the Linked Connections framework. Both [conditional requests](#) as [regular caching](#) are recommended.

Finally, as a generic data model, we use [W3C's Resource Description Framework \(RDF1.1\)](#). The server therefore must support at least one RDF1.1 format, such as [JSON-LD](#), [TriG](#) or [N-Quads](#). As a consequence, every connection will need to have a unique and persistent identifier: an HTTP URI.

This URI should follow the [Linked Data principles](#).

A response's metadata

Each response from a Linked Connections page must contain some metadata about itself:

The URL after redirection, or the one indicated by the Location HTTP header, therefore must occur in the triples of the response. The current page must contain the hypermedia controls to discover under what conditions the data can be legally reused, and must contain the hypermedia controls to understand how to navigate through the paged collection(s).

There are different ways to retrieve the *legal disclaimer*. One option is to annotate each page with a [dct:rights](#) and [dct:license](#) property, linking each resource with its legal license and rights statement. This allows for fine-grained digital rights management, indicating for each document the legal conditions before it may be reused. Another option is to link the document with a description of a [dcat:Dataset](#) through the property [dcat:dataset](#) (mind the capitals).

Also different ways exist to implement a paging strategy. At least one of the strategies must be implemented for a Linked Connections client to find the next pages to be processed.

1. Each response must contain a `hydra:next` and `hydra:previous` page link.
2. Each response should contain a `hydra:search` describing that you can search for a specific time, and that the client will be redirected to a page containing information about that timestamp. The `hydra:property lc:departureTimeQuery` is used to describe this functionality. For example:

```
{
  "@id": "https://graph.irail.be/sncb/connections?departureTime=2017-12-22T14:00:00.000Z",
  "@type": "hydra:PagedCollection",
  "hydra:next": "https://graph.irail.be/sncb/connections?departureTime=2017-12-22T14:10:00.000Z",
  "hydra:previous": "https://graph.irail.be/sncb/connections?departureTime=2017-12-22T13:50:00.000Z",
  "hydra:search": {
    "@type": "hydra:IriTemplate",
    "hydra:template": "https://graph.irail.be/sncb/connections/{?departureTime}",
    "hydra:variableRepresentation": "hydra:BasicRepresentation",
    "hydra:mapping": {
      "@type": "IriTemplateMapping",
      "hydra:variable": "departureTime",
      "hydra:required": true,
      "hydra:property": "lc:departureTimeQuery"
    }
  }
}
```

Each response must support a [Memento RFC](#) gateway to ask for an archived version of the response. Clients can use this to make sure that stale responses are retrieved when planning routes over multiple pages, making sure no connections are skipped.

Describing connections

We want to be able to describe the basics of a connection, as well as use different properties.

The Linked Connections vocabulary

The Linked Connections vocabulary can be found at <http://semweb.mmlab.be/ns/linkedconnections#> (lc: from now on). It describes the basic properties to be used with the [lc:Connection](#) class:

[lc:departureTime](#)

must Date-Time (including delay) at which the vehicle will leave for the lc:arrivalStop.

[lc:departureStop](#)

must A gtfs:Stop

[lc:departureDelay](#)

When the lc:departureTime is not the planned departureTime, this property must set the delay in seconds

[lc:arrivalTime](#)

must Date-Time (including delay) at which the vehicle will arrives at lc:arrivalStop.

[lc:arrivalStop](#)

must A gtfs:Stop

[lc:arrivalDelay](#)

When the lc:arrivalTime is not the planned arrivalTime, this property must set the delay in seconds

The Linked GTFS vocabulary

GTFS is the de-facto standard today to exchange public transport data on the Web, and the terms used are familiar with transit app developers. We reuse these terms in the Linked GTFS vocabulary available at <http://vocab.gtfs.org/terms#> (further on: gtfs:), in order to still describe some much needed properties.

[gtfs:trip](#)

Must be set to link an lc:Connection with a gtfs:Trip, identifying whether another connection is part of the current trip of a vehicle.

[gtfs:pickupType](#)

Should be set to indicate whether people can be picked up at this stop. Possible values: gtfs:Regular, gtfs:NotAvailable, gtfs:MustPhone and gtfs:MustCoordinateWithDriver.

[gtfs:dropOffType](#)

Should be set to indicate whether people can be dropped off at this stop. Possible values: gtfs:Regular, gtfs:NotAvailable, gtfs:MustPhone and gtfs:MustCoordinateWithDriver.

Example

An example in JSON-LD:

```
{
  "@id": "http://irail.be/connections/8863008/20171219/P8671",
  "@type": "Connection",
  "departureStop": "http://irail.be/stations/NMBS/008863008",
  "arrivalStop": "http://irail.be/stations/NMBS/008863354",
  "departureTime": "2017-12-19T15:50:00.000Z",
  "departureDelay": 60,
  "arrivalTime": "2017-12-19T16:20:00.000Z",
  "arrivalDelay": 60,
  "gtfs:trip": "http://irail.be/vehicle/P8671/20171219",
  "gtfs:pickupType": "gtfs:Regular",
  "gtfs:dropOffType": "gtfs:Regular"
}
{
  "@context": {
    "lc": "http://semweb.mmlab.be/ns/linkedconnections#",
    "gtfs": "http://vocab.gtfs.org/terms#",
```

Addenda

"xsd":"http://www.w3.org/2001/XMLSchema#",

"Connection": "lc:Connection",

"departureStop": { "@id": "lc:departureStop", "@type": "@id"},

Default JSON-LD context used in this specification

"arrivalStop": { "@id": "lc:arrivalStop", "@type": "@id"},

"departureTime": { "@id": "lc:departureTime", "@type": "xsd:datetime"},

"arrivalTime": { "@id": "lc:arrivalTime", "@type": "xsd:datetime"},

"departureDelay": { "@id": "lc:departureDelay", "@type": "xsd:integer"},

"arrivalDelay": { "@id": "lc:arrivalDelay", "@type": "xsd:integer"},

"gtfs:headsign": { "@type": "xsd:string"},

"gtfs:trip": { "@type": "@id"},

"gtfs:route": { "@type": "@id"},

"gtfs:pickupType": { "@type": "@id"},

"gtfs:dropOffType": { "@type": "@id"}
}
}

.2 Bijlage B - Lc2iRail's installatiehandleiding

.3 Bijlage C - Lc2iRail's documentatie

.4 Bijlage D - Testresultaten